

مطالعه چسبندگی و تکثیر سلول بنیادی مزانشیمی مغز استخوان انسانی روی داربست نانوفیبری پلی کاپرولاکتون / ژلاتین تغییر داده شده با RGD پپتید

علی مطاع^۱، عباس صاحبقدام لطفی^{۲*}، جلال بروزین^۳، محمد معصومی^۴، مصطفی حاتم^۵، بهزاد ادیبی^۶

- ۱- دانشجوی دکتری تخصصی، گروه بیوشیمی بالینی، دانشکده علوم پزشکی، دانشگاه تربیت مدرس، تهران، ایران
- ۲- استاد، گروه بیوشیمی بالینی، دانشکده علوم پزشکی، دانشگاه تربیت مدرس، تهران، ایران
- ۳- دانشیار، گروه زیست- مواد، پژوهشگاه پلیمر و پتروشیمی، تهران، ایران
- ۴- استادیار، پژوهشگاه ملی مهندسی ژنتیک و زیست فناوری، تهران، ایران

*آدرس نویسنده مسئول: ایران، تهران، کد پستی: ۱۴۱۷۱۳۱۶، دانشگاه تربیت مدرس، دانشکده علوم پزشکی، گروه بیوشیمی بالینی
Email: lotfi_ab@modares.ac.ir

دریافت مقاله: ۹۱/۰۹/۲۱
پذیرش مقاله: ۹۲/۰۲/۱۷

چکیده

هدف: در این مطالعه پپتیدی حاوی توالی RGD از منشأ کالازن IV معرفی شده است که دارای خصوصیات چسبندگی و تکثیری است. این پپتید روی داربست نانوفیبری پلی کاپرولاکتون / ژلاتین ثبیت شد و چسبندگی و تکثیر سلول‌های بنیادی مزانشیمی مغز استخوان انسانی روی داربست تغییر داده شده توسط پپتید بررسی شد.
مواد و روش‌ها: داربست نانوفیبری پلی کاپرولاکتون / ژلاتین توسط الکتروریسمی سنتز و پپتید مورد نظر توسط روش سنتز پپتید در فاز جامد ساخته شد. این پپتید توسط پیوند شیمیایی روی داربست پلی کاپرولاکتون / ژلاتین ثبیت شد. داربست‌های طبیعی و تغییر یافته توسط میکروسکوب الکترونی نگاره و طیف مادون قرمز بررسی شد. چسبندگی و تکثیر سلول‌های بنیادی مزانشیمی مغز استخوان انسانی روی داربست طبیعی و داربست تغییر داده شده توسط آزمون MTT بررسی شد.

نتایج: تصاویر میکروسکوب الکترونی نگاره نشان داد که داربست‌های نانوفیبری الکتروریسمی شده دارای ریخت‌شناسی یکنواخت با قطر 190 ± 38 نانومتر است. تغییر معنی‌داری در ریخت‌شناسی داربست قبل و بعد از ثبیت پپتید مشاهده نشد. نتایج طیف مادون قرمز نشان داد که پپتید با موقیت روی داربست ثبیت شده است. براساس نتایج MTT مطالعات سلولی نشان داد که ثبیت پپتید روی داربست، چسبندگی سلول به داربست را در تمام زمان‌های مطالعه شده بهبود می‌بخشد. همچنین نشان داده شد که ثبیت پپتید منجر به افزایش قدرت تکثیر سلول‌ها روی داربست فعال شده با پپتید در مقایسه با داربست طبیعی و پلیت کشت سلولی می‌شود.

نتیجه‌گیری: پپتید RGD ساخته شده و ثبیت شده روی داربست نانوفیبری می‌تواند در کاربردهای مختلفی که نیاز به چسبندگی سلولی است استفاده شود و همچنین داربست ساخته شده و فعال شده با پپتید مورد نظر را می‌توان در مهندسی بافت مورد استفاده قرار داد.

کلیدواژگان: سلول بنیادی مزانشیمی، پپتید RGD، نانوفیبر، داربست

مجله علوم پزشکی مدرس: آسیب‌شناسی زیستی، دوره ۱۶، شماره ۱، بهار ۱۳۹۲، صفحات: ۷۵-۸۷

داربست نانوفیبری تغییر داده شده توسط پپتید RGD

الکتروریسی (Electrospinning) یک روش ساده با بازده بالا برای تولید نانوفیبرهای هیرید با تخلخل بالا و سطح تماس بالا برای تقلید از الگوی نانوی ماتریکس خارج سلولی برای کنترل رفتار سلولی است [۲]. در سال‌های اخیر کوشش‌های فراوان منجر به تولید داربست‌های نانوفیبری پلیمری با استفاده از الکتروریسی برای کاربردهای زیست-پژوهشی شده است [۸، ۹]. هیرید کردن زیست مواد با ترکیبات زیست-فعالی مانند ژلاتین (Gelatin) [۱۱، ۱۰]، کلاژن [۱۲، ۱۳]، فیبروین (Fibroin) [۱۴] در بسیاری از مطالعات برای تعديل خصوصیات زیست-تقلیدی مواد پلیمری برای بسیاری از کاربردها استفاده شده است. ثبت پتیدهای شناساگر سلول روی زیست-مواد [۱۶، ۱۵] یا آمفی‌فیلهای (Amphiphile) پتیدی [۱۷، ۱۸] شیمی سطح زیست-مواد را بهبود بخشیده است. میانکنش‌های سلول-سلول و سلول-مانند ماتریکس به واسطه گیرندهای چسبندگی سلولی انجام می‌شود. خانواده ایتگرین (Integrin) در بین وسیع‌ترین گروه‌ها در گیرندهای سلولی قرار دارد. این گیرندها نه تنها در اتصال سلول بلکه در بسیاری از فرآیندهای دیگر همانند تکثیر، تمایز، هوموستاز (Homeostasis) و غیره دخالت دارد [۱۹]. توالی RGD یکی از توالی‌های غالب شناساگر سلولی است که در بسیاری از پروتئین‌های ماتریکس خارج سلولی وجود دارد [۲۰]. نشان داده شده است که تقریباً نیمی از خانواده ایتگرین‌ها از طریق توالی RGD به پروتئین‌های ماتریکس متصل می‌شود. بنابراین پتیدهای RGD یکی مؤثرترین پتیدها برای بهبود چسبندگی سلولی به سطح زیست-مواد است.

در این مطالعه یک پتید RGD جدید از منشأ کلاژن نوع IV معرفی و این پتید روی سطح داربست نانوفیبری Polycaprolactone/Gelatin Nanofibrous (PCL/Gel) (Scaffold) ثبت شده است. ساختار و ریخت‌شناسی (Morphology) نانوفیبرها توسط میکروسکوپ الکترونی نگاره (Scanning Electron Microscope: SEM) ارزیابی و داربست تغییر داده شده توسط طیف سنجی مادون قرمز تبدیل Fourier Transform Infrared Spectroscopy: فوریه

مقدمه

در سال‌های اخیر محدوده وسیعی از مواد پلیمری زیستی (Biomaterials) با خصوصیات متعدد برای مهندسی زیستی و مهندسی بافت استفاده شده است. این زیست-مواد باید دارای خصوصیات زیست-تخرب‌پذیری (Biodegradability)، زیست-سازگاری (Biocompatibility) و زیست-فعالی (Bioactivity) مناسبی باشد [۱]. داربست ماتریکس خارج سلولی از مولکول‌های ساختاری و عملکردی همانند پروتئین‌های کلاژن (Collagen)، فیرونکتین (Fibronectin)، لامینین (Laminin) و پروتئوگلیکان‌ها (Proteoglycan) ساخته شده است. این ماتریکس توسط سلول‌های موجود در هر بافتی ساخته و ترشح می‌شود. ترکیب ماتریکس خارج سلولی تأثیر چشمگیری بر رفتار سلولی مانند رشد، تکثیر، بقا، تمایز، مهاجرت و چسبندگی سلولی دارد؛ به همین دلیل استفاده از ماکرومولکول‌های ماتریکس خارج سلولی در مطالعات سلولی و ساخت زیست-مواد بسیار کاربرد دارد. ساختار زیست-مواد نیز دارای اهمیت خاصی بوده و بر میانکنش بین سلول و ماتریکس در رفتارهای سلولی مانند چسبندگی، تکثیر و تمایز اهمیت دارد [۲]. چسبندگی سلولی اولین رویداد در پاسخ سلول به زیست ماده است [۴]. بسیاری از این زیست مواد دارای خصوصیات زیست-تخرب‌پذیری مناسب و خصوصیات مکانیکی قابل قبول هستند [۵]. یکی از موارد چالش‌زا در مورد زیست-مواد پلیمری مانند پلی‌کاپرولاتون در کاربردهای زیست پژوهشی این است که خصوصیات زیست-فعالی و زیست-مقلدی (Biomimetic) لازم برای میانکنش با سلول کشت شده را ندارد [۶]. راهکارهایی که می‌توان با استفاده از آن‌ها خصوصیات زیست-مقلدی چنین زیست موادی را بهبود بخشید، شامل تغییر این مواد با هیرید کردن آن‌ها با ترکیبات زیست-فعال یا ثبت موتیف‌های (Motifs) زیست فعل برای افزایش و کنترل میانکنش بین سلول‌ها و زیست-مواد صناعی است [۷].

براساس ظرفیت بارگیری تئوری انجام شد. در مرحله سنتز پیتید از اسیدهای آمینه استانداردی که دارای گروههای محافظ مناسب بود استفاده شد. در هر مرحله به مقدار ۴ اکی مولار ظرفیت بارگیری از اسید آمینه مورد نظر استفاده شد. برای برداشت گروههای محافظ در هر مرحله از پیریدین (Piperidine) ۲۰ درصد در دی متیل فرمامید استفاده شد. برای اتصال هر اسید آمینه در هر مرحله از معرف اتصالی HBTU O-Benzotriazole-N, N, N', N'-tetramethyl-uronium- (hexafluoro-phosphate) به میزان ۹۸ درصد بارگیری کل و دی ایزوپروپیل اتیل آمین (N,N-Diisopropylethylamine: DIEA) به میزان ۲/۵ اکی مولار بارگیری کل استفاده شد. برای بررسی اتصال اسید آمینه و همچنین بررسی برداشت گروههای محافظتی در هر مرحله آزمون کایزر (Kaiser Test) به کار رفت. به این منظور پس از هر مرحله اتصال اسید آمینه و برداشت گروه محافظتی، مقداری از رزین برداشته شد و بعد از شستشو با ایزوپروپانول، چند قطره محلول کایزر به رزین اضافه شد و به مدت ۲ دقیقه در دمای ۹۵ درجه سانتی گراد انکوبه شد. پس از سنتز پیتید در فاز جامد روی رزین مورد نظر، رزین توسط متانول خالص ۲ بار شستشو و در خلاً خشک شد. پس از خشک شدن، پیتید سنتز شده توسط تری فلورواستیک اسید (Trifluoroacetic Acid) ۹۵ درصد، تری ایزوپروپیل سیلان (Triisopropylsilane) ۲/۵ درصد و آب مقطر ۲/۵ درصد به مدت ۲ ساعت از رزین جامد جدا شد و با استفاده از دی اتیل اتر سرد رسوب داده شد. پس از رسوب گیری و شستشو، پیتید سنتز شده در مقداری آب حل شده و لیوفیلیزه (Lyophilised) شد. میزان خلوص و کیفیت پیتید سنتز شده توسط کروماتوگرافی HPLC (Performance Liquid Chromatography) آنالیزی با ستون C18 توسط گرادیان فاز متحرک آب و استونیتریل (Acetonitrile) بررسی شد. سپس پیتید سنتز شده، براساس روش به دست آمده از کروماتوگرافی آنالیزی توسط کروماتوگرافی با مقیاس بالا خالص سازی شد. برای بررسی خلوص پیتید به دست آمده دوباره از HPLC آنالیزی استفاده

(FTIR) بررسی شده است. همچنین چسبندگی و تکثیر سلولهای بنیادی مزانشیمی مغز استخوان روی داریست مطالعه شده است.

مواد و روش‌ها

ساخت داریست

برای ساخت داریست هیبرید نانوفیری پلی کاپرولاکتون/ ژلاتین (PCL/Gel) از روش الکتروریسی استفاده شد. برای این کار ابتدا محلول ۱۰ درصد وزنی / حجمی از PCL گرانوله و Gel پودری در حلال تری فلورواتانول (TFE) به صورت جداگانه تهیه شد. به این منظور هر کدام از این مواد با حلال مخلوط شده و به مدت ۲۴ ساعت در حرارت آزمایشگاه مخلوط شد. پس از آن محلول‌های همگن به نسبت ۱ به ۱ با هم مخلوط شده و محلول حاصل برای الکترواسپین تهیه شد.

به منظور الکتروریسی، محلول PCL/Gel در درون سرنگ ۱۰ میلی‌لیتری با سر سوزن شماره ۲۰ ریخته شد و در دستگاه الکتروریسی قرار داده شد. الکتروریسی با ولتاژ ۲۵ کیلوولت انجام شد. نانوفیرها روی جمع کننده استوانه‌ای چرخان که در فاصله ۱۵ سانتی‌متری از سر سوزن قرار داشت و روی آن صفحه آلومینیومی کشیده شده بود، جمع‌آوری شد. سرعت چرخش جمع کننده ۲۵۰ دور در دقیقه بود.

پس از سنتز اولیه نانوفیرها نمونه‌ای از آن به منظور بررسی سنتز نانوفیرها برای تهیه تصاویر SEM تهیه شد. پس از تهیه تصاویر SEM سنتز مجدد نانوفیرها ادامه یافت تا ضخامت نانوفیرها به اندازه مورد نظر برسد.

سنتز پیتید حاوی توالی RGD

برای سنتز پیتید حاوی توالی RGD از روش سنتز پیتید در فاز جامد استفاده شد. در این مطالعه پیتید روی بستر جامد Rink-amide-MBHA با ظرفیت بارگیری تئوری ۰/۵۰ میلی‌مول بر گرم سنتز شد. تمام محاسبات سنتز پیتید مجله علوم پزشکی مدرس: آسیب‌شناسی زیستی، دوره ۱۶، شماره ۱، بهار ۱۳۹۲

داربست نانوفیبری تغییر داده شده توسط پپتید RGD

در حرارت آزمایشگاه انکوبه شد. پس از انجام واکنش اتصال، داربست در خلاً خشک شد.

تأیید ثبت پپتید روی داربست

برای تأیید ثبت پپتید روی نانوفیبرها آزمون FTIR انجام شد. به این منظور طیف مادون قرمز قطعه کوچکی از داربست فعال شده در محدوده $600\text{--}4000\text{ cm}^{-1}$ گرفته شده و وجود پیوندهای C-I کشنی در محدوده $800\text{--}1000\text{ cm}^{-1}$ بررسی شد.

بررسی‌های ریخت‌شناختی (SEM)

تصاویر SEM برای بررسی سنتز داربست نانوفیبری و بررسی شکل ظاهری داربست قبل و بعد از ثبت پپتید تهیه شد. به این منظور این داربست‌ها با طلا پوشش داده شد و تصاویر SEM با ولتاژ 10 kV و لوت تهیه شد. قطر فیبرها با استفاده از نرم‌افزار پردازش تصویر (Image, آمریکا) بررسی شد.

مطالعات سلولی

برای بررسی تأثیر ثبت پپتید روی داربست بر چسبندگی سلولی و همچنین تکثیر سلولی، سلول‌های مزانشیمی مغز استخوان انسانی (Human Bone Marrow Stem Cells: hBMSC) را در این داربست را مورد نظر کشت داده شدند. به منظور بررسی چسبندگی سلولی، داربست نانوفیبری فعال نشده و فعال شده با پپتید به وسیله پانچ به اندازه چاهک‌های پلیت $96\text{--}12\text{ mm}$ برشید. قبل از انجام آزمون چسبندگی داربست نانوفیبری توسط اتانول 70% درصد به مدت 30 min دیقیقه استریل شد و پس از آن داربست‌های برشید شده به دقت داخل چاهک‌های پلیت گذاشته شد و توسط نور فرابنفش به مدت 15 min دیگر استریل شد. پس از تهیه سوسپانسیون سلولی سلول‌های مزانشیمی، تعداد 50000 سلول به هر چاهک اضافه شد. آزمون MTT برای بررسی چسبندگی سلولی، $1\text{--}4\text{ h}$ ساعت پس از اضافه کردن سلول‌ها انجام شد. به این منظور پس از گذشت

شد و همچنین برای بررسی درستی سنتز پپتید، از طیف سنجی کروماتوگرافی مایع-اسپکترومتری جرمی (Liquid Chromatography-Mass Spectrometry: LC-MS) استفاده شد.

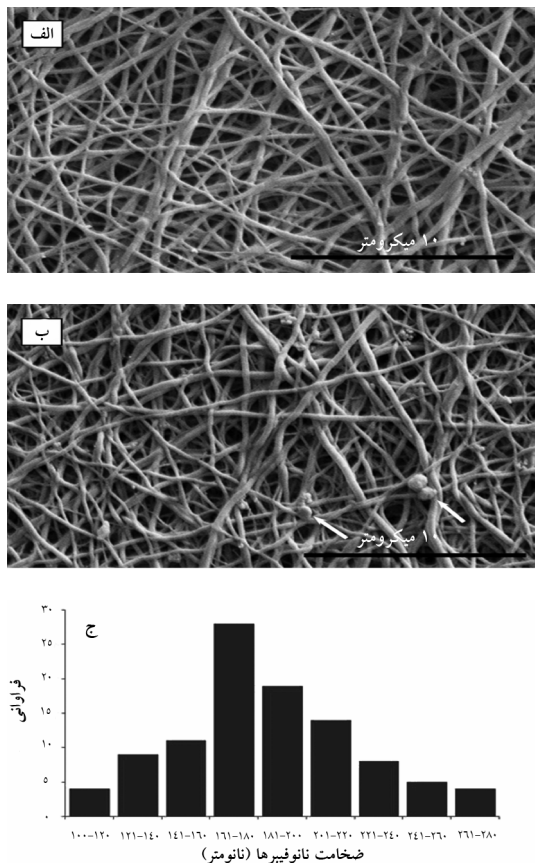
ایجاد اتصالات متقطع در داربست هیرید نانوفیبری

برای پایدارسازی نانوفیبرها، اتصال متقطع بین آنها ایجاد شد. در این مطالعه برای ایجاد پیوندهای متقطع بین نانوفیبرها از کربودی‌ایمید (Carbodiimide) محلول در آب N-اتیل-N-کربو-دی‌ایمید (EDC) استفاده شد. این ماده برای ایجاد اتصال متقطع مناسب است زیرا نوعی پیوند ایجاد می‌کند که شبیه پیوندهای موجود در پروتئین‌ها در رشته‌های ژلاتین است.

برای ایجاد اتصال متقطع، ابتدا محلول $250\text{ }\mu\text{M}$ EDC و $100\text{ }\mu\text{M}$ NHS ساخته شد. داربست نانوفیبری مورد نظر به مدت 1 h در این محلول قرار داده شد. پس از این مدت با استفاده از آزمون نینهیدرین (Ninhydrin Test) واکنش اتصال متقطع بررسی شد. پس از آن قسمتی از داربست نانوفیبری در محیط خلاً خشک شد و از آن تصویر SEM تهیه شد و با قیمانده داربست بدون انجام هیچ تیماری در مرحله بعد استفاده شد.

ثبت پپتید روی داربست

برای افزایش خواص اتصال سلول به نانوفیبرها پپتید سنتز شده دارای توالی RGD روی نانوفیبرها ثبت شد. به همین منظور دوباره از ترکیبات جفت کننده گروه‌های کربوکسیل و آمین استفاده شد. ابتدا داربست نانوفیبری در اندازه‌های برشید شده تحت تأثیر EDC و NHS قرار گرفت. پس از شستشو، داربست مورد نظر در محلول حاوی پپتید با غلظت $1\text{ }\mu\text{g}/\text{mL}$ در هر میلی‌لیتر قرار داده شد و به مدت 24 h ساعت



شکل ۱ تصاویر SEM مربوط به ریخت‌شناصی نانوفیبرها (الف) و (ب) بعد از تثبیت پیتید روی داربست؛ همان‌طور که در شکل مشاهده می‌شود، تغییر محسوسی در شکل و ریخت‌شناصی نانوفیبرها پس از ایجاد اتصال مقاطع و تثبیت پیتید مشاهده نمی‌شود. (ج) توزیع اندازه نانوفیبرها که توسط نرم‌افزار پردازش تصویر J بررسی شده است. خط مقیاس: ۱۰ میکرومتر.

ساخت پیتید حاوی توالی RGD

پیتید حاوی توالی RGD با توالی KKGPRGDPG-F(4) (۱) با جرم مولکولی تئوریک تقریباً ۱۱۸۳ با موفقیت ساخته شد. پس از سنتز پیتید خام، خلوص آن با HPLC آنالیزی بررسی شد (شکل ۲). پس از ارزیابی اولیه توسط کروماتوگرافی، برای خالص‌سازی پیتید از کروماتوگرافی تولیدی با مقیاس بالا (سیستم کروماتوگرافی 1260 Agilent) استفاده شد. پس از انجام خالص‌سازی دوباره کروماتوگرافی آنالیزی انجام شد که خلوص پیتید بیش از ۹۵ درصد به دست آمد (شکل ۲). برای

زمان مذکور محیط کشت داخل چاهک‌ها خارج شد و محیط کشت حاوی ۱۰ درصد نمک MTT به هر چاهک اضافه شد و پلیت به مدت ۴ ساعت در انکوپاتور انکوبه شد. پس از آن محیط کشت خارج شده و به میزان ۱۰۰ میکرولیتر DMSO (Dimethyl sulfoxide) به هر چاهک اضافه شد. پس از ۱۵ دقیقه میزان جذب نوری هر چاهک در طول موج ۵۷۰ نانومتر سنجیده شد.

تجزیه و تحلیل آماری

تجزیه و تحلیل آماری توسط نرم‌افزار SPSS نسخه ۱۷ انجام شد. تمام آزمایش‌های کشت سلولی به صورت سه تکراری انجام شد. مقادیر میانگین و انحراف معیار از میانگین برای تجزیه و تحلیل داده‌های چسبندگی و تکثیر سلولی استفاده شد. برای مقایسه مقادیر میانگین در داربست‌های مختلف آزمون آنالیز واریانس یک طرفه (One-way Analysis of Variance: ANOVA) به کار رفت. مقادیر P کمتر از ۰/۰۵ با فاصله اطمینان ۹۵ درصد از لحاظ آماری معنی‌دار در نظر گرفته شد.

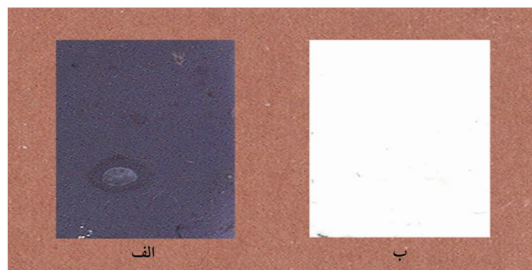
نتایج

ساخت داربست و بررسی‌های ریخت‌شناختی (SEM)

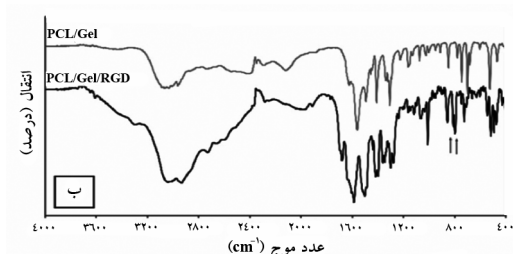
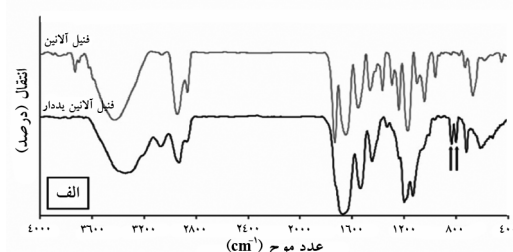
داربست هیبرید نانوفیبری PCL/Gel با موفقیت ساخته شد. نانوفیبرهای ساخته شده شکل یکنواختی داشت و هیچ دانه‌ای در طول نانوفیبرها مشاهده نشد. همچنین قطر نانوفیبرها نیز یکنواخت و اندازه آن‌ها 190 ± 38 نانومتر بود (شکل ۱ الف). برای افزایش مقاومت مکانیکی و همچنین جلوگیری از آب‌گیری ژلاتین در داربست نانوفیبری، در این داربست اتصالات مقاطع ایجاد شد. نتایج نشان داد که ریخت‌شناصی نانوفیبرها پس از ایجاد اتصالات مقاطع تغییر قابل توجهی نداشت و اندازه نانوفیبرها تقریباً ثابت بود (شکل ۱ ب).

داربست نانوفیبری تغییر داده شده توسط پپتید RGD

اتصالات متقطع داربست آزمون نینهیدرین منفی بود و داربست به رنگ سفید مشاهده می شود (شکل ۳).



شکل ۳ آزمون نینهیدرین برای بررسی ایجاد اتصالات متقطع (الف) قبل و (ب) بعد از ایجاد اتصالات متقطع؛ قبل از ایجاد اتصال متقطع گروههای آمین موجود در داربست آزاد بوده و با نینهیدرین واکنش می دهد که ایجاد رنگ می کند در صورتی که پس از ایجاد اتصال متقطع گروههای آمین آزاد نباشد و واکنشی صورت نمی گیرد.

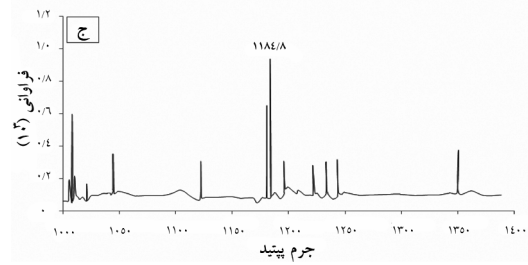
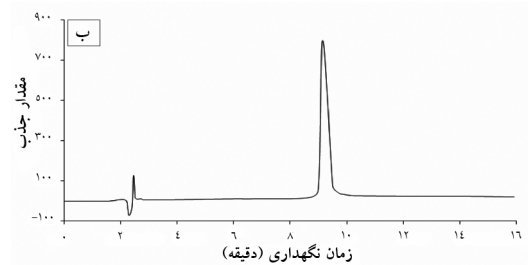
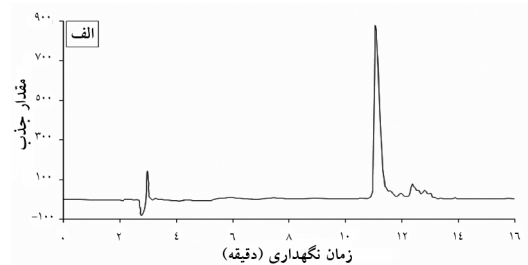


شکل ۴ (الف) طیف FTIR مربوط به استانداردهای فنیل آلانین و فنیل آلانین یددار که در فنیل آلانین یددار قله مربوط به پیوندهای کششی C-I در ناحیه نزدیک 800 cm^{-1} کاملاً مشخص است. (ب) طیف FTIR مربوط به داربست های PCL/Gel و PCL/Gel/RGD فعال شده با RGD. که قله مربوط به پیوندهای کششی C-I در ناحیه نزدیک 800 cm^{-1} کاملاً مشهود است.

تأیید ثبت پپتید

نتایج FTIR برای تأیید ثبت پپتید روی داربست در شکل

(LC-MS) تأیید درستی ساخت پپتید نیز اسپکترومتری جرمی (LC-MS) انجام شد. نتایج MS یک قله (Peak) واضح در ناحیه ۱۱۸۴/۸ نشان داد که درستی ساخت پپتید را تأیید می کند (شکل ۲).



شکل ۲ کروماتوگرام مربوط به (الف) پپتید خام و (ب) پپتید خالص شده. پس از خالص سازی توسط کروماتوگرافی تهیه ای، ناخالصی های موجود در محصول پپتید خام برطرف شده و خلوص پپتید به بیش از ۹۸ درصد رسید. (ج) طیف اسپکترومتری جرمی مربوط به پپتید ساخته شده که قله مربوط به جرم پپتید ۱۱۸۴ (m/z) در ۱۱۸۴ مشخص است.

ایجاد اتصالات متقطع در داربست هیرید نانوفیبری

در بررسی ایجاد اتصالات متقطع در داربست از آزمون نینهیدرین کیفی استفاده شد. همان طور که مشاهده می شود آزمون نینهیدرین قبل از ایجاد اتصالات متقطع مثبت بوده و داربست به رنگ بنسن در آمده است ولی پس از ایجاد

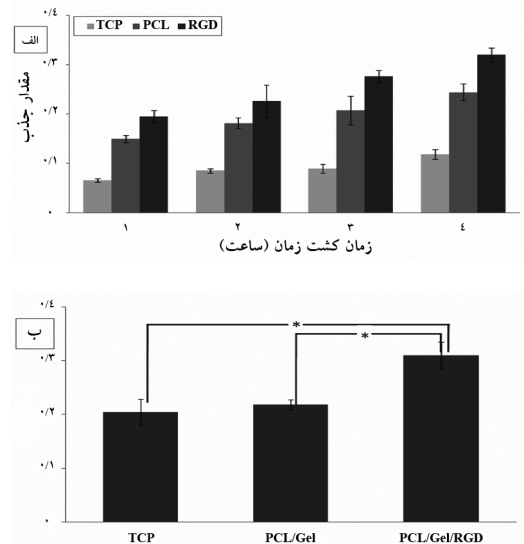
هر چه اتصال بیشتر باشد، شدت رنگ ایجاد شده نیز بیشتر است. همان‌طور که در نمودار شکل ۵ نشان داده شده است، شدت رنگ ایجاد شده در داربست فعال شده با پیتید در تمام زمان‌های مورد نظر بیشتر از داربست فعال نشده و پلیت کشت سلولی روی پلیت کشت سلولی در زمان‌های مختلف تفاوت PCL/Gel چندانی ندارد ولی چسبندگی سلولی روی داربست PCL/Gel و همچنین PCL/Gel فعال شده با پیتید با گذشت زمان حالت پیشوندهای دارد. این نتایج همچنین نشان می‌دهد که میزان چسبندگی سلول به داربست فعال شده با پیتید بسیار بیشتر از دو گروه دیگر است ($P < 0.05$). نتایج آزمون تکثیر سلولی پس از کشت سلول‌ها به مدت ۷۲ ساعت نیز نشان داد که میزان تکثیر سلول‌ها روی داربست فعال شده با پیتید بسیار بیشتر از پلیت کشت سلولی و داربست فعال نشده است ($P < 0.05$).

بحث

در این مطالعه پیتید حاوی توالی RGD مشتق از کلاژن IV که دارای خصوصیات چسبندگی و تکثیر سلولی است، ساخته شد. این پیتید به طور موفقیت‌آمیزی بر روی داربست هیبرید نانوفیبری PCL\Gel ثبت شد. ثبت پیتید با استفاده از پیوند شیمیایی و بدون تیمار شیمیایی پس از ایجاد اتصالات مقطع انجام شد تا چسبندگی hBMSC به داربست افزایش یافته و خاصیت تقلید ریستی داربست بهبود یابد.

ماتریکس خارج سلولی از ماکرومولکول‌های مختلفی تشکیل شده است که پروتئین‌های کلاژن، لامینین و فیروزنکتین جزو فراوان‌ترین این پروتئین‌ها محسوب می‌شود. این پروتئین‌ها نقش ساختاری و عملکردی داشته و تأثیر مستقیمی بر اکثر رفتارهای سلولی همانند رشد، تکثیر، مهاجرت و تمایز دارد. استفاده از این مولکول‌های پروتئینی در مطالعات مهندسی بافت بسیار مورد توجه قرار گرفته است. با این حال به دلیل عدم دسترسی و هزینه بالا، استفاده از آن‌ها بسیار محدود است. به این دلیل استفاده از توالی‌های موجود در این پروتئین‌ها که

۴ نشان داده شده است، برای تأیید ثبت پیتید از طیف استاندارد فنیل آلانین و فنیل آلانین ید دار استفاده شد. در طیف فنیل آلانین ید دار دو قله مشخص در 798 cm^{-1} و 812 cm^{-1} به وضوح قابل مشاهده است که این دو قله را می‌توان به حضور ید در مولکول فنیل آلانین ید دار نسبت داد. این دو قله در طیف مربوط به داربست PCL/Gel وجود ندارد ولی در طیف مربوط به داربست فعال شده با پیتید، قله اول در ناحیه 798 cm^{-1} قابل مشاهده است. قله دوم نیز با کمی جایه‌جایی در ناحیه 840 cm^{-1} به وضوح قابل مشاهده است.



شکل ۵ (الف) نمودار مربوط به آزمون MTT برای بررسی چسبندگی سلولی پس از کشت سلول‌های MSC روی داربست‌های PCL/Gel و PCL/Gel/RGD. (ب) نمودار مربوط به آزمون MTT برای بررسی تکثیر سلولی پس از کشت سلول‌های MSC روی داربست‌های PCL/Gel و PCL/Gel فعال شده با پیتید پس از ۷۲ ساعت، میزان چسبندگی ($P < 0.05$) و تکثیر ($P < 0.05$) سلول‌ها روی داربست فعال شده به وضوح بسیار بیشتر از داربست فعال نشده و پلیت کشت سلول است.

مطالعات سلولی

نتایج آزمون 3-(4,5-dimethylthiazol-2-yl)-2,5-diphenyl tetrazolium bromide (MTT) در شکل ۵ نشان داده شده است. در این آزمون، شدت رنگ تولید شده ارتباط مستقیم با تعداد سلول‌های زنده اتصال یافته به داربست دارد.

مجله علوم پزشکی مدرس: آسیب‌شناسی زیستی، دوره ۱۶، شماره ۱، بهار ۱۳۹۲

داربست نانوفیبری تغییر داده شده توسط پپتید RGD

بازسازی عروق استفاده شده است. تیلمن (Tillman) و همکاران نشان داده‌اند که داربست‌های PCL/Col دارای قدرت و یکپارچگی بالایی در داخل بدن بوده و پاسخ اینمی غیرطبیعی ایجاد نمی‌کند. این محققین چنین نتیجه گرفته‌اند که این داربست‌ها می‌تواند در موارد بالینی به کار برده شود [۲۵]. مک‌کلور (McClure) و همکاران از یک ماتریکس سه لایه برای تقلید از ساختار طبیعی رگ با استفاده از PCL، الاستین و کلاژن استفاده کردند. آن‌ها نتیجه گرفته‌اند که این پیوند سه لایه عروقی دارای خصوصیات کلی سرخرگ طبیعی است [۲۶]. ژلاتین به عنوان شکل و اسرشت شده کلاژن در بسیاری از داربست‌های زیست-تخربی پذیر استفاده شده است. یکی از معایب ژلاتین به صورت ساده یا در ترکیب با سایر زیست-مواد، آب‌گیری آن در محیط آبی است. برای حل این مشکل می‌توان با استفاده از اتصال دهنده‌های شیمیایی مانند گلوتارآلدیید (Glutaraldehyde) و فرمالدیید (Formaldehyde) در ژلاتین اتصال متقطع ایجاد کرد. با این حال نشان داده شده است که این اتصال دهنده‌ها در مقادیر بالا سمی هستند [۲۷] و ریخت‌شناسی داربست را نیز به هم می‌ریزند [۲۳]. EDC یک اتصال دهنده مؤثر است و پیوندهایی را ایجاد می‌کند که محصول جانبی غیر سمی داشته و پیوند خارجی در ژلاتین ایجاد نمی‌کند. نشان داده شده است که EDC به عنوان یک کربوکسی‌ایمید محلول در آب می‌تواند برای ایجاد اتصال متقطع در ژلاتین استفاده شود. این ماده وقتی به صورت ترکیبی با اتانول استفاده شود از آب‌گیری ژلاتین حتی در فرآیند ایجاد اتصال متقطع جلوگیری می‌شود.

ایجاد اتصال متقطع در داربست توسط EDC مستلزم فعل شدن گروه کربوکسیل انتهای کربوکسیل، گروه کربوکسیل زنجیره جانبی آسپارتات و گلوتامات و تشکیل پیوند آمیدی و جفت شدن آن‌ها با گروه آمین لیزین است. در حقیقت EDC/NHS باعث تشکیل اتصالات متقطع داخل مولکولی و بین مولکولی در ژلاتین می‌شود [۲۳]. گروور (Grover) و همکاران نشان داده‌اند که ایجاد اتصالات متقطع در داربست‌های ژلاتینی می‌تواند استحکام مکانیکی آن را بهبود

خاصیت چسبندگی دارد، بسیار متدال شده است. ریخت‌شناسی و شیمی سطح داربست‌های مورد استفاده در مهندسی بافت و پژوهشی بازیابی نیز تأثیر مهمی بر رفتار سلولی مانند چسبندگی، تکثیر، تمایز و میانکنش سلول با ماتریکس خارج سلولی دارد [۲۱]. یکی از موارد چالش‌زا در ارتباط با مواد پلیمری همانند PCL، میانکنش ناکافی و غیراختصاصی بین پلیمرها و سلول‌ها است [۲۲]. بسیاری از پلیمرهای صناعی همانند PCL آب‌گیریز بوده و فاقد گروههای فعالی همانند هیدروکسیل، کربوکسیل، کربوکسیل، آمین و سولفات است. راهبردهای تغییر سطح بسیاری برای ایجاد چنین گروههای فعالی در سطح PCL توسعه یافته است.

از آنجایی که سطح PCL فاقد گروههای فعالی مانند آمین یا کربوکسیل است، به راحتی نمی‌توان آن را تغییر داد. هیدروکسیل بازی و آمینولیز روش‌های مناسبی برای ایجاد این گروههای فعال هستند. با این حال استفاده از این روش‌ها خصوصیات ساختاری و ریخت‌شناسی نانوفیبرهای PCL را تغییر داده و می‌تواند به تشکیل نانوفیبرهای ناپایدار از لحاظ مکانیکی و ریخت‌شناسی منجر شود [۲۳]. برای تولید گروههای فعال، معمولاً PCL با مولکول‌های زیستی (Biomolecules) دیگری همانند کلاژن، الاستین، فیبروپین و پپتیدهای فعال کننده سطح مخلوط شده یا سطح آن با این مولکول‌های زیستی تغییر داده می‌شود. ژلاتین که از کلاژن مشتق می‌شود، بسیار ارزان بوده و می‌تواند برای حل این کمبود استفاده شود. بنابراین در این مطالعه PCL به صورت فیزیکی با ژلاتین مخلوط شد. محققان حاضر به این نتیجه رسیدند که داربست PCL/Gel هیبرید دارای اتصال متقطع خصوصیات چسبندگی سلولی بهبود یافته‌ای دارد. این بهبود چسبندگی حاصل حضور گروههای بسیار فعال و قطبی ژلاتین بر سطح نانوفیبرهای الکتروریسی شده است. اثر PCL/Gel هیبرید بر رفتار سلولی در مطالعات قبلی بررسی شده است. نشان داده شده است که داربست نانوفیبری PCL/Gel می‌تواند تمایز سلول‌های بنیادی مخچه به سمت سلول‌های عصبی را افزایش دهد [۲۴]. داربست‌های هیبرید متشکل از PCL و کلاژن برای

تغییر داده شده با RGD را مطالعه کرده‌اند. آن‌ها نشان داده‌اند که ثبیت RGD روی داربست PCL اتصال hBMSC و توزیع آن روی داربست را بهبود می‌بخشد. آن‌ها همچنین دریافته‌اند که مسیرهای انتقال پیام با واسطه اینتگرین‌ها توسط تغییر داربست با RGD فعال شده و افزایش می‌یابد. نشان داده شده است که فعال شدن این مسیرها منجر به بقاء و رشد سلول می‌شود [۳۳].

نتایج بررسی‌های چسبندگی سلولی نشان داد که داربست PCL/Gel تغییر داده شده با پیتید طراحی شده قدرت چسبندگی بهتری نسبت به داربست PCL/Gel طبیعی دارد و می‌توان آن را برای تغییر سطح زیست موادی که قدرت چسبندگی پایینی دارد به کار برد. ثبیت پیتید همچنین اثر قابل توجهی بر تکثیر سلول‌های کشت داده شده داشت که این توانایی در تولید زیست موادی که برای پزشکی بازتوانی استفاده می‌شود، بسیار اهمیت دارد.

دراین مطالعه یک پیتید جدید حاوی توالی RGD از منشأ کلاژن نوع IV ستز شده و روی داربست فعال شده PCL/Gel ثبیت شد. یک نشانگر ید برای ردیابی ثبیت پیتید در توالی استفاده شد. برای تأیید خصوصیات چسبندگی سلولی، از آزمون MTT استفاده شد. نتایج نشان داد که ثبیت پیتید بر داربست با موفقیت انجام شده است و پیتید ثبیت شده می‌تواند چسبندگی و تکثیر سلولی را افزایش دهد. با در نظر گرفتن نتایج این مطالعه، تغییر داربست PCL/Gel توسط این پیتید جدید سازگاری زیستی و قابلیت استفاده از این داربست را در کشت سلول‌های بنیادی و مهندسی بافت را افزایش می‌دهد.

تشکر و قدردانی

این مقاله مستخرج از رساله دکتری رشته بیوشیمی بالینی که با حمایت‌های مالی دانشکده علوم پزشکی دانشگاه تربیت مدرس انجام شده است.

با خشیده و مقاومت تحریبی آن را تعدیل نماید که باعث فراهم نمودن داربست‌هایی با یکپارچگی ساختاری بالا می‌شود [۲۹]. در این مطالعه پیتید مورد نظر بلافارسله پس از ایجاد اتصالات متقطع ثبیت شد تا با استفاده از گروه‌های فعال شده کربوکسیل اضافی، پیتید از انتهای آمین بر روی داربست ثبیت شود. نشان داده شده است که ژلاتین نسبت به گروه آمین (لیزین) تقریباً ۱۲ درصد گروه کربوکسیل (گلوتامات و آسپارتات) اضافی دارد [۳۰]. بنابراین زمانی که در ژلاتین به مقداری اتصال متقطع ایجاد شود که آزمون نینهیدرین منفی شود، تقریباً تمام گروه‌های آمین با گروه‌های کربوکسیل جفت شده‌است و گروه‌های کربوکسیل اضافی را می‌توان برای ثبیت پیتید و فعال‌سازی بیشتر استفاده کرد. برای ثبیت پیتید مورد نظر یا سایر بیومولکول‌ها راهبردهای مقاومتی استفاده می‌شود؛ به این منظور در پیتید ساخته شده دو گروه لیزین گنجانده شد تا پیتید از طریق گروه آمین زنجیره جانی با گروه‌های کربوکسیلی که در مرحله ایجاد اتصال متقطع فعال شده‌است، جفت شود. به دلیل این که پیتید ترکیب مشابهی با ژلاتین دارد، باید یک گروه فنیل آلانین تغییر یافته برای تأیید ثبیت پیتید روی داربست استفاده می‌شد. یافته‌های FTIR ثبیت پیتید روی داربست را تأیید می‌کنند.

نتایج تأیید کرد که ثبیت پیتید روی داربست، چسبندگی و تکثیر hBMSC را به طور قابل توجهی افزایش می‌دهد. مشخص شده است که ثبیت موتفی‌های چسبندگی، شیمی سطح زیست مواد را بهبود می‌بخشد. طی سال‌های اخیر تعداد زیادی از پیتیدهای حاوی توالی RGD با توالی‌های مختلف از (Extracellular Matrix Proteins) ECM ساخته شده است [۲۲]. این پیتیدهای روی چندین پلیمر و توسط روش‌های فیزیکی و شیمیایی مختلف ثبیت شده‌اند. نشان داده شده است که ثبیت پیتیدهای حاوی توالی RGD روی زیست مواد نانوفیبری چسبندگی سلولی و میانکنش سلول-ماتریکس را بهبود می‌بخشد [۳۲-۳۱]. ژانگ (Zhang) و همکاران میانکنش hBMSC با داربست منفذدار

منابع

- [1] Hench LL, Polak JM. Third-generation biomedical materials. *Science* 2002; 295(5557): 1014-7.
- [2] Stevens MM, George JH. Exploring and engineering the cell surface interface. *Science* 2005; 310(5751): 1135-8.
- [3] Hunt JA. Regenerative medicine: Materials in a cellular world. *Nat Mater* 2008; 7(8): 617-8.
- [4] Geiger B, Spatz JP, Bershadsky AD. Environmental sensing through focal adhesions. *Nat Rev Mol Cell Biol* 2009; 10(1): 21-33.
- [5] Peña J, Corrales T, Izquierdo-Barba I, Doadrio AL, Vallet-Regí M. Long term degradation of poly(3-caprolactone) films in biologically related fluids. *Polym Degrad Stab* 2006; 91: 1424-32.
- [6] Elbert DL and Hubbell JA. Surface Treatments of Polymers for Biocompatibility. *Annu Rev Mater Sci* 1996; 26: 294-365.
- [7] Hubbell JA. Bioactive biomaterials. *Curr Opin Biotechnol* 1999; 10(2): 123-9.
- [8] Jahani H, Kaviani S, Hassanpour-Ezatti M, Soleimani M, Kaviani Z, Zonoubi Z. The effect of aligned and random electrospun fibrous scaffolds on rat mesenchymal stem cell proliferation. *Cell J* 2012; 14(1): 31-8.
- [9] Eslaminejad MB, Bagheri F, Zandi M, Nejati E, Zomorodian E. Study of Mesenchymal Stem Cell Proliferation and Bone Differentiation on Composite Scaffolds of PLLA and Nano Hydroxyapatite with Different Morphologies. *Cell Journal (Yakhteh)* 2011; 12(4):469-76.
- [10] Zhang Y, Ouyang H, Lim CT, Ramakrishna S, Huang ZM. Electrospinning of gelatin fibers and gelatin/PCL composite fibrous scaffolds. *J Biomed Mater Res B Appl Biomater* 2005; 72(1): 156-65.
- [11] Chong EJ, Phan TT, Lim IJ, Zhang YZ, Bay BH, Ramakrishna S, Lim CT. Evaluation of electrospun PCL/gelatin nanofibrous scaffold for wound healing and layered dermal reconstitution. *Acta Biomater* 2007; 3(3): 321-30.
- [12] Choi JS, Lee SJ, Christ GJ, Atala A, Yoo JJ. The influence of electrospun aligned poly(epsilon-caprolactone)/collagen nanofiber meshes on the formation of self-aligned skeletal muscle myotubes. *Biomaterials* 2008; 29(19): 2899-906.
- [13] Zhang YZ, Venugopal J, Huang ZM, Lim CT, Ramakrishna S. Characterization of the surface biocompatibility of the electrospun PCL-collagen nanofibers using fibroblasts. *Biomacromolecules* 2005; 6(5): 2583-9.
- [14] Wang S, Zhang Y, Yin G, Wang H, Dong Z. Electrospun Polylactide/Silk Fibroin–Gelatin Composite Tubular Scaffolds for Small-Diameter Tissue Engineering Blood Vessels. *J Appl Polym Sci* 2009; 113: 2675-82.
- [15] Jo S, Engel PS and Mikos AG. Synthesis of poly(ethylene glycol)-tethered poly(propylene fumarate) and its modification with GRGD peptide. *Polymer*. 2000; 41(21): 7595-604.
- [16] Quirk RA, Chan WC, Davies MC, Tendler SJ, Shakesheff KM. Poly(L-lysine)-GRGDS as a biomimetic surface modifier for poly(lactic acid). *Biomaterials* 2001; 22(8): 865-72.

- [17] Andukuri A, Kushwaha M, Tambralli A, Anderson JM, Dean DR, Berry JL, Sohn YD, Yoon YS, Brott BC, Jun HW. A hybrid biomimetic nanomatrix composed of electrospun polycaprolactone and bioactive peptide amphiphiles for cardiovascular implants. *Acta Biomater* 2011; 7(1): 225-33.
- [18] Tambralli A, Blakeney B, Anderson J, Kushwaha M, Andukuri A, Dean D, Jun HW. A hybrid biomimetic scaffold composed of electrospun polycaprolactone nanofibers and self-assembled peptide amphiphile nanofibers. *Biofabrication* 2009; 1(2): 025001.
- [19] van der Flier A, Sonnenberg A. Function and interactions of integrins. *Cell Tissue Res* 2001; 305(3): 285-98.
- [20] Ruoslahti E. RGD and other recognition sequences for integrins. *Annu Rev Cell Dev Biol* 1996; 12: 697-715.
- [21] Massumi M, Abasi M, Babaloo H, Terraf P, Safi M, Saeed M, Barzin J, Zandi M, Soleimani M. The effect of topography on differentiation fates of matrigel-coated mouse embryonic stem cells cultured on PLGA nanofibrous scaffolds. *Tissue Eng Part A* 2012; 18(5-6): 609-20.
- [22] Hersel U, Dahmen C, Kessler H. RGD modified polymers: biomaterials for stimulated cell adhesion and beyond. *Biomaterials* 2003; 24(24): 4385-415.
- [23] Zhang YZ, Venugopal J, Huang ZM, Lim CT, Ramakrishna S. Crosslinking of the electrospun gelatin nanofibers. *Polymer* 2006; 47(8): 2911-7.
- [24] Ghasemi-Mobarakeh L, Prabhakaran MP, Morshed M, Nasr-Esfahani MH, Ramakrishna S. Electrospun poly (epsilon-caprolactone)/gelatin nanofibrous scaffolds for nerve tissue engineering. *Biomaterials* 2008; 29(34): 4532-9.
- [25] Tillman BW, Yazdani SK, Lee SJ, Geary RL, Atala A, Yoo JJ. The in vivo stability of electrospun polycaprolactone-collagen scaffolds in vascular reconstruction. *Biomaterials* 2009; 30(4): 583-8.
- [26] McClure MJ, Sell SA, Simpson DG, Walpoth BH, Bowlin GL. A three-layered electrospun matrix to mimic native arterial architecture using polycaprolactone, elastin, and collagen: a preliminary study. *Acta Biomater* 2010; 6(7): 2422-33.
- [27] Sisson K, Zhang C, Farach-Carson MC, Chase DB, Rabolt JF. Evaluation of cross-linking methods for electrospun gelatin on cell growth and viability. *Biomacromolecules* 2009; 10(7): 1675-80.
- [28] Tomihata K, Ikada Y. Cross-linking of gelatin with carbodiimides. *Tissue Eng* 1996; 2(4): 307-13.
- [29] Grover CN, Cameron RE, Best SM. Investigating the morphological, mechanical and degradation properties of scaffolds comprising collagen, gelatin and elastin for use in soft tissue engineering. *J Mech Behav Biomed Mater* 2012; 10: 62-74.
- [30] Songchotikunpan P, Tattiyakul J, Supaphol P. Extraction and electrospinning of gelatin from fish skin. *Int J Biol Macromol* 2008; 42(3): 247-55.
- [31] Irvine DJ, Ruzette AV, Mayes AM, Griffith LG. Nanoscale clustering of RGD peptides at surfaces using comb polymers. 2. Surface

داربست نانوفیبری تغییر داده شده توسط پپتید RGD

- segregation of comb polymers in polylactide. Biomacromolecules 2001; 2(2): 545-56.
- [32] Park KH. Arg-Gly-Asp (RGD) sequence conjugated in a synthetic copolymer bearing a sugar moiety for improved culture of parenchymal cells (hepatocytes). Biotechnol Lett 2002; 24: 1401-6.
- [33] Zhang H, Lin CY, Hollister SJ. The interaction between bone marrow stromal cells and RGD-modified three-dimensional porous polycaprolactone scaffolds. Biomaterials 2009; 30(25): 4063-9.